

Network Topology에 對하여 (I)

技術解說

14-4-3

高 明 三 *

(4) Incidence Matrix

Kirchhoff는 有向性 線型 graph에 포함되어 있는 位相幾何學의인 특성, 즉 주어진 graph의 모든 頂點과 邊들의 연결상태를 0, +1, -1의 세가지 數字로 된 소위 incidence 行列란 개념으로 集約시켰다. 즉 Kirchhoff는 이 行列의 行을 graph의 頂點에, 列을 枝에 각각 대응시키고 각 元素들은 위에서 말한 세가지 數字만으로 표시하되, 만일 주어진 graph의 頂點 i가 枝 j와 연결되어 있는 경우에는 行列의 ij元素는 1로 하고 연결되지 않았을 경우에는 0으로 규정하였다. 그리고 數字 1의 正負符號는 慣例上 枝 j의 方向이 頂點 i에 대해서 收斂할 때는 正, 發散인 때는 負로 각각 규정한다. 그러므로 주어진 graph에 대응하는 incidence 行列을 $A = [a_{ij}]$ 라 하면, 元素 a_{ij} 는 0.1 혹은 -1인 數字를 취할 것이지만 특히 graph가 無向性인 경우에는 元素 a_{ij} 는 단지 0.1의 두가지 數字만으로 표시한다.

지금 그림 3-14와 같은 回路網에 대한 incidence 行列는 第1表로 부터 식(3-8)과 같이 될 것이다. 그림 3-14

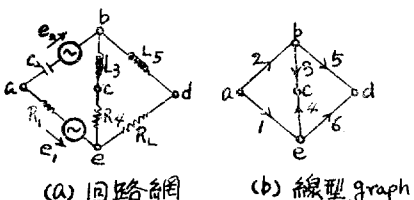


그림 3-14. Network and its linear graph

(b)의 화살표는 주어진 回路網의 枝路電流의 正方向을 표시한 것으로 소위 有向性 graph를 의미한다.

第1表 Incidence Matrix sludule

節點	枝					
	1	2	3	4	5	6
a	-1	-1	0	0	0	0
b	0	1	-1	0	-1	0
c	0	0	1	1	0	0
d	0	0	0	0	1	1
e	1	0	0	-1	0	-1

*서울工大 專任講師 · 正會員

$$[A] = \begin{pmatrix} -1 & -1 & 0 & 0 & 0 & 0 \\ 0 & 1 & -1 & 0 & -1 & 0 \\ 0 & 0 & 1 & 1 & 0 & 0 \\ 0 & 0 & 0 & 0 & 1 & 1 \\ 1 & 0 & 0 & -1 & 0 & 1 \end{pmatrix} \quad (3-8)$$

지금 t個의 頂點과 b個의 枝로 구성된 어떤 연결된 graph의 incidence 行列을 $[A]$ 라 하면 여기에는 다음과 같은 重要性質이 있으며, 이들은 位相幾何學의 回路網合成에서의 가장 基本이 되는 사항이다.

性質 (1) : Incidence 行列 $[A]$ 의 階數(rank) n 는 $n_t - 1$ 보다 크지 않다.

證明 : 만일 incidence 行列 $[A]$ 의 임의의 行에 다른 모든 行을 加하면 그 行의 모든 元素들은 零이 될 것이다. 왜냐하면 incidences 行列의 모든 각 列은 한 元素가 +1, 또 다른 한 元素는 -1이고 나머지 元素들은 전부零인 관계로, 임의의 한 列에 속한 元素들의 합은 항상零이 되기 때문이다. 그런데 行列式의 性質에 의하면 이러한 行의 相加로 n_t 次의 임의의 正方部分行列의 行列式의 值은 不變이다. 따라서 n_t 個의 行으로 된 모든 行列式의 值은零이 되어 incidence 行列의 階數는 n_t 보다 적을 것이다.

性質 (2) : Incidence 行列 $[A]$ 에서 구성된 임의의 行列式의 值은 0, +1 혹은 -1이다.

證明 : 性質 2에서 요구하는 行列式을 D라 하자. 만일 각 列에 두개의零이아닌 元素가 있으면, 性質 1에서 말한 바와 같이 모든 行의 합은零元素만으로 된 行으로 바꿀 수 있으므로 $D=0$ 가 될 것이다. 다음 D에 만일 적어도 한개의零이아닌 元素가 들어 있는 한 列이 있을 경우에는 D를 이 列에 관하여 Laplace 展開하면 D보다 次數가 하나 낮은 새로운 行列式 D_1 을 얻을 수 있다. 이러한 과정을 번복하면 D는 결국 1次의 行列式이 될 것이다. 따라서 D의 值은 0, +1 혹은 -1이 된다. 讀者들은上述한 性質 (1)(2)를 식(3-8)을 이용하여 吟味함으로써 그理解를 더 빨리 할 수 있을 것이다.

性質 (3) : 閉路에 대응되는 incidence 行列의 部分行列의 行列式의 值은零이다.

證明 : 線型 graph에서의 임의의 獨立된 閉路에서의 頂點과 枝의 數는 같다. 그리고 한개의 枝는 단지 두개

의 節點만을 가질 수 있다. 따라서 이러한 閉路 만을 나타내는 incidence 行列은 각 열이 오직 한개의 +1과 -1 및 기타 적당한 개수의 0으로 구성된 正方 行列로 된 것이다. 따라서 이 正方 行列의 行들의 합은 전부 零이 되어 性質(3)이 成立하게 된다. 이의 實例로 그림 3-14 (b)와 식(3-8)에서 獨立된 閉路인 a b c e 를 생각 하면 다음과 같은 部分 行列 $[A_1]$ 을 들 수 있다.

즉

$$[A_1] = \begin{pmatrix} -1 & -1 & 0 & 0 \\ 0 & 1 & -1 & 0 \\ 0 & 0 & 1 & 1 \\ 1 & 0 & 0 & -1 \end{pmatrix} = 0 \quad (3-9)$$

따라서

$$\det[A_1] = \begin{vmatrix} -1 & -1 & 0 & 0 \\ 0 & 1 & -1 & 0 \\ 0 & 0 & 1 & 1 \\ 1 & 0 & 0 & -1 \end{vmatrix} = 0 \quad (3-10)$$

性質(4) : Incidence 行列로 부터 구성된 모든 零이 아닌 n 次 行列式은 나무(tree)에 대응된다.

證明: 性質(4)가 의미하는 行列式에 속하지 않은 incidence 行列의 行에 대응하는 節點을 u 라 하자. 行列式의 値는 零이 아니므로 零이 아닌 元素가 하나만 있는 열이 적어도 하나 있고 이 열에 대응하는 枝의 또 다른 零이 아닌 元素는 제거된 行인 u 上에 존재할 것이다. 이 枝(해당 枝의 節點중의 하나가 u 임)를 α 로 표시하고 v 를 枝 α 의 또 다른 零이 아닌 元素에 대응하는 節點이라 하면 零이 아닌 元素는 λ_{va} 가 될 것이다. 다음 λ_{va} 에 대응하는 小行列式(minor)의 値는 零이 아니어야 하므로, 이 小行列式은 한개의 零이 아닌 元素만을 가진 行을 적어도 하나는 가져야 한다. 따라서 이 行에 속하는 또 다른 零이 아닌 元素는 이미 제거된 u 行 혹은 v 行 중의 어느 한行上에 존재할 것이다. 결과적으로 이 行은 節點 u 혹은 v 를 또 다른 節點 w 에 연결하는 한개의 枝에 대응되며, 이 枝를 β 라 하자. 零이 아닌 元素 λ_{vb} 이외의 β 行上의 零이 아닌 元素에 관한 小行列式의 次數는 $(n-2)$ 이고 그 値 역시 零이 아니어야 할 것이다. 마찬 가지 方法으로 節點 u, v 혹은 w 를 또 다른 새로운 節點 x 와 연결시키는 第3의 枝인 γ 를 결정할 수 있다. 이 과정을 $(n-1)$ 回 반복하면, 每過程마다 이미 연결시킨 節點에 항상 새로운 節點을 새로운 枝로 연결시키게 되므로, 나중에는 n 個의 枝를 n 個의 節點에 연결시킨 subgraph 를 만들게 될 것이다. 따라서 이 subgraph는 閉路가 없는 소위 나무가 된다. 上의 結果로 부터 다음과 같이 말할 수도 있다. 즉 閉路가 없는 subgraph에 대응하는 n 次의 모든 行列式의 値는 零이 아니다.

性質(5) : 한 나무에 대응하는 n 次의 모든 行列式의

值는 零이 아니다.

이의 證明은 讀者들에게 마끼기로 한다. 以上으로 incidence 行列에 관련된 기본 성질은 대략 기술하였다. 性質(4)와 (5)의 組合으로 한나무에 대응하기 위한 incidence 行列의 n 次 行列式의 必要하고도 充分한 條件은 그 行列式의 値가 零이 아니어야 한다는 것을 알 수 있다.

(5) Tie-set Matrix 과 連結枝 電流(link current)

이미 定義 20에서 連結枝에 관한 정의를 하였다. 여기서는 우선 連結枝 電流를 變數의 集合으로 선택했을 때의 利點에 관해서 생각해 보자.

그림 3-15는 주어진 有向型 線型 graph 를, 그림 3-17은 이에 대응하는 가능한 세가지 나무를, 그리고 그림 3-17은 이를 나무에 의해서 결정되는 連結枝 電流를 표시하며, 각각의 連結枝에 대응하는 閉路의 集合은 나무의 선택법에 따라 달라짐을 알 수 있다. 여기서 閉路의 方向은 連結枝 電流와 같은 方向으로 離한다. 왜냐하면, 한 連結枝에 의하여 비로서 電流가 流를 수 있는 독립된 閉路가 생기기 때문이

다. 그림 3-15와 그림 3-17

에 의하여 連結枝 電流는 순환電流 혹은 閉路電流라고 생각할 수 있다. 지금 그

림 3-15의 각 枝電流를 $j_1, j_2, j_3, j_4, j_5, j_6, j_7$ 및 j_8 라 하

고, 그림 3-17(a)의 閉路

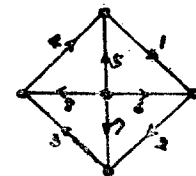


그림 3-15. Oriented linear graph

電流를 i_1, i_2, i_3 , 및 i_4 라 하면 다음 等式이 成立한다.

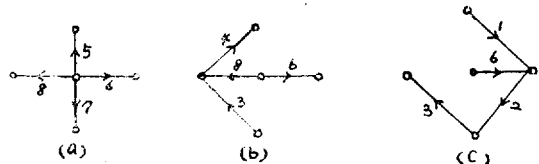


그림 3-16. 前圖에 대응하는 Possible Trees

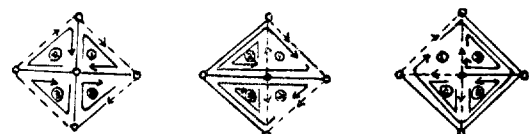


그림 3-17. 그림 3-16에 대응하는 閉路電流 (小圓內의 數字로 표시됨)

$$i_1=j_1, i_2=j_2, i_3=j_3, i_4=j_4 \quad (3-11)$$

그림 3-15와 그림 3-17 (a)에 의하여 나머지 나무가 지 電流를 閉路電流의 적당한 중첩으로 나타낼 수 있다. 즉

$$j_5=i_1-i_4$$

$$\begin{aligned} j_6 &= i_2 - i_1 \\ j_7 &= i_3 - i_2 \\ j_8 &= i_4 - i_3 \end{aligned} \quad (3-12)$$

식 (3-11)을 (3-12)에 대입하여

$$\begin{aligned} j_5 &= j_1 - j_4 \\ j_6 &= j_2 - j_1 \\ j_7 &= j_3 - j_2 \\ j_8 &= j_4 - j_3 \end{aligned} \quad (3-13)$$

식(3-13)은連結枝電流가 나무가지電流를一義的으로 또한確定的으로 표시함을 의미한다. 이리하여 그림 3-15의 8개의 枝電流중 4개만이幾何學의으로獨立임을 알 수 있다. 이를 4개는 각각 선택된 나무에 관한連結枝의集合에 대응한다.

다음 그림 3-16의 (b)와 그림 3-17의 (b)를 비교하여

$$j_1 = i_1, j_2 = i_2, j_5 = i_3, j_7 = i_4 \quad (3-14)$$

$$\begin{aligned} j_3 &= i_2 + i_4 \\ j_4 &= i_1 - i_3 \\ j_6 &= i_2 - i_1 \\ j_8 &= i_1 - i_2 - i_3 - i_4 \end{aligned} \quad (3-15)$$

식(3-15)에 (3-14)를 대입하여

$$\begin{aligned} j_3 &= j_2 + j_7 \\ j_4 &= j_1 - j_5 \\ j_6 &= j_2 - j_1 \\ j_8 &= j_1 - j_2 - j_5 - j_7 \end{aligned} \quad (3-16)$$

가 되어 8개의 枝電流중 4개만이幾何學의으로獨立임을 다시 한번 밝혔다.

그러나 8개의 枝電流중, 임의의 4개가獨立集合이라고 결론지어서는 안된다. 즉独立電流의集合에 대응하는 枝는 나무에서 정해지는連結枝가되어야 한다. 왜냐하면 이條件을 만족할 때만이電流는獨立이기 때문이다.例를 들면 枝電流 j_5, j_6, j_7, j_8 는 殘餘枝인 1, 2, 3, 4가 나무를 만들지 않으므로独立電流의集合은 아니다. 以前에도 말했지만 나무의 개념은枝電流의集合의獨立여부를 결정할 수 있는 가장 간단한方法을 제시하므로, 매우 중요함을 다시 한번 강조한다. 바꾸어 말하면 나무의 개념은 임의의 回路網 graph에 대해서独立電流變數의可能한集合을 결정하는 직접적인方法을 제공함을 알수 있다.

다음 그림 3-16(c)는 그림 3-15의 또 다른可能한 선택에 의한 나무를 나타내며, 그림 3-17(c)는 이에對應하는閉路의集合을 표시한다. 이 경우에도兩者를 비교하여

$$j_4 = i_1, j_5 = i_2, j_7 = i_3, j_8 = i_4 \quad (3-17)$$

$$\begin{aligned} j_1 &= i_1 + i_2 = j_4 + j_5 \\ j_2 &= i_1 - i_3 - i_4 = j_4 - j_7 - j_8 \\ j_3 &= i_1 - i_4 = j_4 - j_8 \\ j_6 &= -i_2 - i_3 - i_4 = -j_5 - j_7 - j_8 \end{aligned} \quad (3-18)$$

以上의 方法은 주어진 回路網이 단일 복잡한 경우 식

(3-13), 식(3-16) 및 식(3-18)을 유도하는데 시간이 많아 걸릴 뿐만 아니라 혼돈 하기 쉬운缺點이 있으므로, 다음과 같은 소위 Tie-set matrix 을 이용하면 매우 간단해진다. 이는 앞에서 말한 incidence matrix 을作成할 때와 大同小異한方法으로 진행시킨다. Tie-set 行列를 작성하기 위해서는 우선 다음과 같은 Tie-set 表를 만들어야 한다. 이表는 그림 3-16의 (b)를 기준하여 작성한 것이다.

第2表 Tie-set 表

連結枝電流 (閉路電流)	枝 電 流							
	j_1	j_2	j_3	j_4	j_5	j_6	j_7	j_8
i_1	1	0	0	1	0	-1	0	1
i_2	0	1	1	0	0	1	0	-1
i_3	0	0	0	-1	1	0	0	-1
i_4	0	0	1	0	0	0	1	-1

이表의 중요한 성질은 첫째로各行이 각각 대응하는閉路電流에 관계되는枝들의集合을 표시는 점이다.換言하면行은 Kirchhoff의電壓法則에 해당하게 되어

$$\begin{aligned} v_1 + v_4 - v_6 + v_8 &= 0 \\ v_2 + v_3 + v_6 - v_8 &= 0 \\ v_4 + v_5 - v_8 &= 0 \\ v_3 + v_7 - v_8 &= 0 \end{aligned} \quad (3-19)$$

인等式이成立하게 된다. 여기서 v_i 는 해당枝電壓이다. 둘째는各列이곧枝電流를閉路電流로표시하는方程式의係數를 의미한다는 점이다. 즉上記한 Tie-set表에서

$$\begin{aligned} j_1 &= i_1 \\ j_2 &= i_2 \\ j_3 &= i_2 + i_4 \\ j_4 &= i_1 - i_3 \\ j_5 &= i_3 \\ j_6 &= -i_1 + i_2 \\ j_7 &= i_4 \\ j_8 &= i_1 - i_2 - i_3 - i_4 \end{aligned} \quad (3-20)$$

와 같은等式이얻어지며, 이는식(3-14), (3-15)와同一함을알수있다. 즉Tie-set表는閉路의幾何學의構造및枝電流와閉路電流間의代數的關係를나타내는가장간결하고도有用한手段임을알수있다. 또한식(3-20)에서枝電流의獨立變數는 j_1, j_2, j_5, j_7 이고從屬變數는 $j_3 = j_2 + j_7, j_4 = j_1 - j_5, j_6 = -j_1 + j_2, j_8 = j_1 - j_2 - j_5 - j_7$ 로됨은그림3-17(b)에의하여自明하다.

그런데 第2表와같은表는行또는列로부터만들수있으나, 일반적인 관점에서는 관련된閉路를만드는枝의集合을관찰하여行부터만드는것을原則으로한다. 우선모든連結枝중에서하나를제외한나머지連結枝전부를開放 혹은제거시키면, 한閉路電流만남고, 나머지는전부零이될것이며, 이조작을連結枝의數만큼하나씩해나가면必要한閉路를전부알게된다. 즉

한個의 閉路電流가 존재하면 이 閉路上에 존재하는 모든 枝의集合에는 電流가 흐르고 있으므로 이를 數字 1로, 이에 속하지 않은 枝에는 電流가 흐르지 않으므로 數字 0으로 하되, 1의 正負符號는 枝의 方向性, 즉 주어진 graph에서의 枝의 方向과 連結枝로 인한 閉路의 方向이一致할때는 正, 반대인 경우에는 負를 취한다. 이상의 과정에 의하여 작성된 것이 第2表이며, 이의各行은 소위 선택한 連結枝로 因한 閉路上에 존재하는 枝集合을 표시하며, 이를 tie-set 라 한다. 回路網 graph의 圖形이 平面 혹은 球面上에서 枝를 교차시키지 않고 그릴 수 있을 경우에는 임의 tie-set 가 全回路網을 두部分으로 分割시키는 경계를 이룬다고 생각할 수 있다. 따라서 이러한集合에 속하는 枝의 길이가 한점이 되기까지 축소시키면 回路網(魚網의 絲를 引張했을 때와 같이)은 소위 分離結合(tied off)이 되어, 결국 tie-set로 나눠진 두部分은 공통 節點을 가진 點을 제외하면 실질적으로는 두部分으로 分離된다. 이러한 뜻에서 tie-set란 이름을 붙이게 되었다.

다음 tie-set 表의 各 數字를 行列 形式으로 표시한 것을 tie-set matrix [M]라 한다.

$$\text{즉 } [M] = \begin{pmatrix} 1 & 0 & 0 & 1 & 0 & -1 & 0 & 1 \\ 0 & 1 & 1 & 0 & 0 & 1 & 0 & -1 \\ 0 & 0 & 0 & -1 & 1 & 0 & 0 & -1 \\ 0 & 0 & 1 & 0 & 0 & 0 & 1 & -1 \end{pmatrix}$$

가 되고 이의 次數는 $(e-n_t+1) \times e$ 이다.

지금 식(3-19)를 行列形式으로 표시하면

$$[J_b] = [M]^T [I_L] \quad (3-21)$$

가 된다.

단

$$[I_L] = \begin{pmatrix} i_1 \\ i_2 \\ i_3 \\ i_4 \end{pmatrix} \quad [J_b] = \begin{pmatrix} J_1 \\ J_2 \\ J_3 \\ J_4 \\ J_5 \\ J_6 \\ J_7 \\ J_8 \end{pmatrix}$$

$$[M]^T = \begin{pmatrix} 1 & 0 & 0 & 0 \\ 0 & 1 & 0 & 0 \\ 0 & 1 & 0 & 1 \\ 1 & 0 & -1 & 0 \\ 0 & 0 & 1 & 0 \\ -1 & 1 & 0 & 0 \\ 0 & 0 & 0 & 1 \\ 1 & -1 & -1 & -1 \end{pmatrix}$$

(6) Cut-set Matrix 과 節點對 電壓(Node pair voltage)

임의의 두 節點간의 電位點인 節點對 電壓은 나무가지

電壓에 의하여 一義적으로 표시 할 수 있으므로 節點對 電壓의 특정한集合인 連結枝 電壓 역시 나무가지 電壓을 사용하여 一義적으로 표시할 수 있다. 이 原理를 그림 3-15의 有向性 線型 graph를 이용하여 설명하기로 하자. 우선 그림 3-16의 나무 (a)를 선택한다. 枝電壓을 枝의 번호에 對應시켜 v_1, v_2, \dots, v_8 라 하면 v_5, v_6, v_7, v_8 는 나무가지 電壓임과 동시에 獨立集合이라고 볼 수 있다. 이들量은 또한 節點對 電壓이라고 볼 수 있으며, 어떤 특정한 變數의集合役割을 하므로, 이를 e_i 인 符號로 代置한다.

즉

$$\left. \begin{array}{l} e_1=v_5 \\ e_2=v_6 \\ e_3=v_7 \\ e_4=v_8 \end{array} \right\} \quad (3-21)$$

라 하면 그림 3-15에 의하여

$$\left. \begin{array}{l} v_1=-v_5+v_6=-e_1+e_2 \\ v_2=-v_6+v_7=-e_2+e_3 \\ v_3=-v_7+v_8=-e_3+e_4 \\ v_4=-v_8+v_5=-e_4+e_1 \end{array} \right\} \quad (3-22)$$

가 될 것이다. 다음 그림 3-16의 나무 (b)를 선택할 경우에는 枝電壓 v_3, v_4, v_6 및 v_8 가 적합한 獨立集合이 되어

$$\left. \begin{array}{l} e_1=v_3 \\ e_2=v_4 \\ e_3=v_6 \\ e_4=v_8 \end{array} \right\} \quad (3-23)$$

라 하면 식(3-22)와 같아

$$\left. \begin{array}{l} v_1=-v_4+v_6-v_8=-e_2-e_3-e_4 \\ v_2=-v_3-v_6+v_8=-e_1-e_3+e_4 \\ v_5=v_4+v_8=e_2+e_4 \\ v_7=-v_3+v_8=-e_1+e_4 \end{array} \right\} \quad (3-24)$$

가 되므로 나무가지 電壓의 어떤集合이란 補木의 枝電壓을 一義의으로 표시 할 수 있는 獨立變數集合으로 볼 수 있다. 즉, 식(3-22)와 (3-24)는 (3)節(前回)에서 기술한 事項의 實例가 된다.

위의 方法은 tie-set 와 마찬가지로 주어진 回路網이 간단한 경우에는 비교적 쉽게 적용되지만, 만일 복잡한 경우에는 tie-set 表의 作成法에 유사한 雙對的인 方法인 cut-set 表法을 이용해야 한다. 즉 tie-set 表는 電流를 기초로 하였으나 여기서는 電壓을 기준으로 하여 작성한다. 즉 한개의 나무가지 電壓(節點對 電壓)을 제외한 나머지 枝電壓을 전부 短絡(零)시켜 作成한다. 일반적으로 이 조작으로 連結枝중의 몇개는 동시에 短絡되지만, 한개의 나무가지 外에 이 나무가지의 兩端의 節點對 間을 연결하는 連結枝는 短絡되지 않은채 남게 된다. 이러한 枝의集合을 cut set 라 한다.

그림 3-18은 그림 3-16의 나무(a)를 이용하여 第3表와 같은 cut set 表를 作成하는데 필요한 諸般 資料를 제공한다.

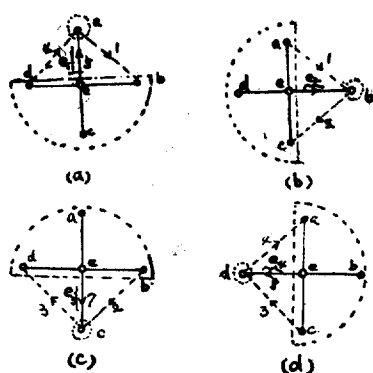


그림 3-18. Cut set 的 作成法

第3表 Cut set 表

點對電壓		枝電壓							
(나무가지)	(支電壓)	v_1	v_2	v_3	v_4	v_5	v_6	v_7	v_8
e_1		-1	0	0	1	1	0	0	0
e_2		1	-1	0	0	0	1	0	0
e_3		0	1	-1	0	0	0	1	0
e_4		0	0	1	-1	0	0	0	1

上表에서 零이 아닌 元素의 正負符號는 한節點對電壓의 方向과 이에 대응하는 cut set를 形成하는 枝電壓의 方向이 同一할 때는 해당 元素에 (+), 反對인 때는 (-) 符號를 각각 붙인다.

다음 cut-set 表가 지니고 있는 기본성질을 살펴보자. 이는 節點對電壓과 枝電壓間의 代數的 관계를 나타내며各行은 Kirchhoff의 電流法則에 해당한다.

$$\begin{aligned} \text{즉 } & -j_1 + j_4 + j_5 = 0 \\ & j_1 - j_2 + j_6 = 0 \\ & j_2 - j_3 + j_7 = 0 \\ & j_3 - j_4 + j_7 = 0 \end{aligned} \quad (3.25)$$

다음 各列은 枝電壓을 나무 가지 電壓으로 나타내는 方程式의 係數를 의미한다.

$$\begin{aligned} \text{즉 } & v_1 = -e_1 + e_2 \\ & v_2 = -e_2 + e_3 \\ & v_3 = -e_3 + e_4 \\ & v_4 = -e_1 - e_4 \\ & v_5 = e_1 \\ & v_6 = e_2 \\ & v_7 = e_3 \\ & v_8 = e_4 \end{aligned} \quad (3.26)$$

가 되어 이는 식 (3-21) 및 (3-22)와 一致함을 알 수 있다. 여기서 電壓의 獨立變數는 v_5, v_6, v_7 및 v_8 이고, 從屬變數는 $v_1 = -v_5 + v_6, v_2 = -v_6 + v_7, v_3 = -v_7 + v_8$ 및 $v_4 = v_5 - v_8$ 로 주어짐은 그림 3-16의 나무(9)에 의하여 自明하다.

다음 第3表 또는 식 (3-26)을 行列形式으로 나타내면

$$[V_b] = [Q]^T [E_n] \quad (3.27)$$

$$\text{단 } [V_b] = \begin{pmatrix} v_1 \\ v_2 \\ v_3 \\ v_4 \\ v_5 \\ v_6 \\ v_7 \\ v_8 \end{pmatrix}, [Q]^T = \begin{pmatrix} -1 & 1 & 0 & 0 \\ 0 & -1 & 1 & 0 \\ 0 & 0 & -1 & 1 \\ 1 & 0 & 0 & -1 \\ 1 & 0 & 0 & 0 \\ 0 & 1 & 0 & 0 \\ 0 & 0 & 1 & 0 \\ 0 & 0 & 0 & 1 \end{pmatrix}, [E_n] = \begin{pmatrix} e_1 \\ e_2 \\ e_3 \\ e_4 \end{pmatrix}$$

가 된다. 여기서 行列 Q 를 cut set 行列이라고 하며 cut set 와 回路網枝와의 관계를 나타낸다. 그리고 $[Q]$ 의 次數는 $(n_t - 1) \times e$ 이다.

끝으로 cut set의 중요한 幾何學的 特性은 그림 3-18을 보면 곧 이해 할 수가 있다. 例로 同圖(a)에서 나무가지 5만을 除外한 나머지의 나무가지를 전부 短絡하면 나무가지 5의 두節點(兩端)인 a, b 에는 각각 주어진 回路網에 속하는 節點들이 중첩될 것이다. 다음 두節點組가 될 a 와 b 를 각각 한손에 잡고 잡아당길 때 (단 여기서 모든 枝는 彈性이 있다고 가정한다) 늘어나는 枝의集合이 곧 cut set에 해당한다. 이 때 늘어난 枝를 切斷하면 주어진 本래의 回路網 graph은 本部分(a 組와 b 組)으로 완전히 분리 될 것이다. 이러한 理由로 볼 때 cut set은 일반적으로 이에 속하는 枝를 切斷한다는 動作에 의하여 回路網이 本部分으로 분리되도록 선정한 最小數의 枝로된 集合이라고 생각할 수 있다.

以上에서 설명한 $[M]$ 와 $[Q]$ 의 作成法에 관한 例題를 하나 두기로 한다.

(例 題) (a) 그림 3-19와 같은 회로망의 線型 graph를 그려라.

(b) 나무 12378에 대응하는 tie-set 와 cut set 行列을

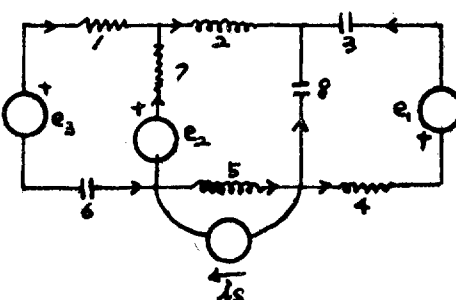


그림 3-19. given Network

유도하고 獨立變數와 從屬變數간의 관계를 구하라.

(解)

(a) 線型 graph를 그릴 때 電壓源은 短絡要素로 電流源은 開放要素로 취급하면 되므로 그림 3-20과 같이 될 것이다.

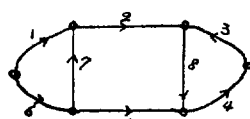


그림 3-20. Linear graph

(b) 枝 1 2 3 7 8에 대응하는 나무는 그림 3-21과 같다. 다음 tie set 行列과 cut-set 行列은 각각 그림 3-22와 그림 3-23의 하여 작성한다.

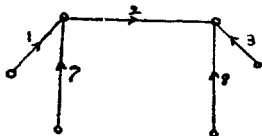


그림 3-21. Tree 12378

(i) Tie-set 行列

나무 12378의 連結枝는 4, 5, 6이므로 이를 連結枝가 각각 獨立의으로 접속되었을 때의 電流分布는 그림 3-22와 같게 될 것이다.

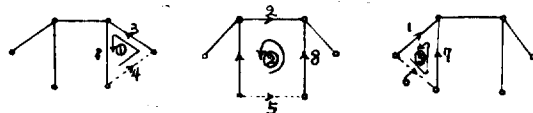


그림 3-22. Tie-set 行列의 유도.(단 小圓속의 數字는 해당 閉路電流를 표시함)

따라서 tie-set 表는

連 接 枝 電 (開路電流)	枝 電 流							
	j_1	j_2	j_3	j_4	j_5	j_6	j_7	j_8
i_1	0	0	1	1	0	0	0	-1
i_2	0	-1	0	0	1	0	-1	1
i_3	-1	0	0	0	0	1	1	0

가 되며 tie-set 行列은

$$[M] = \begin{pmatrix} 0 & 0 & 1 & 1 & 0 & 0 & 0 & -1 \\ 0 & -1 & 0 & 0 & 1 & 0 & -1 & 1 \\ -1 & 0 & 0 & 0 & 0 & 1 & 1 & 0 \end{pmatrix}$$

로 주어진다. 다음 枝電流와 連結枝 電流와의 사이에는

$$\left. \begin{array}{l} j_1 = -i_3 \\ j_2 = -i_2 \\ j_3 = i_1 \\ j_4 = i_1 \\ j_5 = i_2 \\ j_6 = i_3 \\ j_7 = -i_2 + i_3 \\ j_8 = -i_1 + i_2 \end{array} \right\} \quad (3-28)$$

인 等式이 成立하며, 電流에 관한 獨立 및 從屬變數는 다음과 같이 分類된다.

$$\left. \begin{array}{l} \text{獨立變數: } j_4, j_5, j_6 \\ \text{從屬方程式: } j_1 = -j_6 \\ j_2 = -j_5 \\ j_3 = j_4 \\ j_7 = -j_5 + j_6 \\ j_8 = -j_4 + j_5 \end{array} \right\} \quad (3-29)$$

(ii) Cut-set 行列

나무 1 2 3 7 8에 대응하는 cut-set 表는 그림 3-18와 같은 方法에 의하여 直觀的으로 다음과 같이 作成할 수 있다. 단 나무까지 1, 2, 3, 7, 8에 대응하는 나무까지 電壓을 각각 e_1, e_2, e_3, e_4, e_5 라 함.

나무까지 電 壓	枝 電 壓							
	v_1	v_2	v_3	v_4	v_5	v_6	v_7	v_8
e_1	1	0	0	0	0	1	0	0
e_2	0	1	0	0	1	0	0	0
e_3	0	0	1	-1	0	0	0	0
e_4	0	0	0	0	1	-1	1	0
e_5	0	0	0	1	-1	0	0	1

따라서 cut set 行列 $[Q]$ 은

$$[Q] = \begin{pmatrix} 1 & 0 & 0 & 0 & 0 & 1 & 0 & 0 \\ 0 & 1 & 0 & 0 & 1 & 0 & 0 & 0 \\ 0 & 0 & 1 & -1 & 0 & 0 & 0 & 0 \\ 0 & 0 & 0 & 0 & 1 & -1 & 1 & 0 \\ 0 & 0 & 0 & 1 & -1 & 0 & 0 & 1 \end{pmatrix}$$

가 되고 枝電壓과 나무까지 電壓과의 관계는

$$\left. \begin{array}{l} v_1 = e_1 \\ v_2 = e_2 \\ v_3 = e_3 \\ v_4 = -e_3 + e_5 \\ v_5 = e_2 + e_4 - e_5 \\ v_6 = e_1 - e_4 \\ v_7 = e_4 \\ v_8 = e_5 \end{array} \right\} \quad (3-30)$$

인 等式으로 주어지며, 나무 1 2 3 7 8에 대응하는 電壓에 관한 獨立 및 從屬變數는 다음과 같이 된다. 즉

$$\left. \begin{array}{l} \text{獨立變數: } v_1, v_2, v_3, v_7, v_8 \\ \text{從屬方程式: } v_4 = -v_3 + v_8 \\ v_5 = v_2 + v_7 - v_8 \\ v_6 = v_1 - v_7 \end{array} \right\} \quad (3-31)$$

위에서 설명한, tie-set 와 cut-set 行列에 의해서 선택한 枝電流變數 또는 枝電壓變數들의 獨立集合性 여부를 판정하는데는 幾何學的方法과 解析的 方法의 두 가지가 있다. 前者は 枝電流의 獨立集合을 선택하는데 있어서, 그들이 補木을 形成하고 있는가, 또는 枝電壓인 경우에는 그들이 나무를 形成하고 있는가를 검토하면 된다. 다음 後者인 解析的 方法이란 주어진 枝電流變數 또는 枝電壓數들의 集合에 대응하는 이들 列로된 行列의 行列式의 值가 零이 아닌 경우에 한해서 그 獨立性이 보장된다는 것이다. 예를 들면 앞 예제에서 얻은 $[M]$ 에서 枝電流 j_4, j_5, j_6 의 獨立性 여부는 그들의 行列式이

$$\Delta M = \begin{vmatrix} 0 & 0 & 1 \\ 0 & -1 & 0 \\ -1 & 0 & 0 \end{vmatrix} = -1 \quad (3-33)$$

가 되므로, 獨立集合임을 알 수 있다. 마찬가지 方法으로 [Q]에서 얻은 枝電壓變數 v_1, v_2, v_3, v_7, v_8 는 그들의 行列式이

$$\Delta Q = \begin{vmatrix} 1 & 0 & 0 & 0 & 0 \\ 0 & 1 & 0 & 0 & 0 \\ 0 & 0 & 1 & 0 & 0 \\ 0 & 0 & 0 & 1 & 0 \\ 0 & 0 & 0 & 0 & 1 \end{vmatrix} = 1 \quad (3-34)$$

가 되므로 이것 역시 獨立集合을 形成하고 있음이 立證되었다.

그리고 그림 3-20의 線型 graph에 해당하는 기타의 다른 나무들이 가능하므로 이에 대응하는 獨立枝電流變數 역시 存在한다.

以上을 종합하면 tie-set 行列에서 선택한 零이 아닌 $(e-n_t+1)^2$ 次의 行列式은 枝電流變數의 獨立集合에 대응하며, cut-set 行列에서 선택한 임의의 零이 아닌 $(n_t-1)^2$ 次의 行列式은 枝電壓變數의 한 獨立集合에 대응한다고 말할 수 있다.

(7) Tie-set 및 cut-set 行列의 線型變換

주어진 回路網에 대해서 어떤 獨立變數의 集合이 일단 선택되었다고 하면, 이들 變數들은 임의의 非特異線型變換(nonsingular linear transformation)에 의하여 새로운 獨立變數들의 集合으로 만들 수 있으나, 처음에 가졌던 幾何學的인 뜻은 이미 상실하게 된다. 지금 i_1, i_2, \dots, i_n 是電流變數들의 獨立의인 集合이라고 하면 새로운 獨立變數들의 集合인 i'_1, i'_2, \dots, i'_n 는 다음과 같은 非特異線形變換에 의하여 얻을 수 있다.

$$\left. \begin{aligned} i'_1 &= \alpha_{11}i_1 + \alpha_{12}i_2 + \dots + \alpha_{1n}i_n \\ i'_2 &= \alpha_{21}i_1 + \alpha_{22}i_2 + \dots + \alpha_{2n}i_n \\ &\dots \\ i'_n &= \alpha_{n1}i_1 + \alpha_{n2}i_2 + \dots + \alpha_{nn}i_n \end{aligned} \right\} \quad (3-35)$$

上式을 行列로 표시하면

$$[I'] = [\alpha][I] \quad (3-36)$$

가 되고 係數의 行列式 $|\alpha| \neq 0$ 는 또한 어떤 獨立集合을 의미한다.

節點對電壓 獨立變數들의 集合을 共通 基準節點 獨立變數(node-common-datum independent variables)로 變換시키는 것은 간단한 線型變換의 한 例이다. 즉 그림 3-22 (a)는 어떤 回路網의 graph이고, (b)도는 선택된 나무, (c)도는 节點 O에 접속된 나무와 유사한 구조이다. 여기서 节點 O는 소위 이 回路網의 나머지 모든 节點과 관계되는 共通 基準節點이다. 이를 그림으로 부터 节點

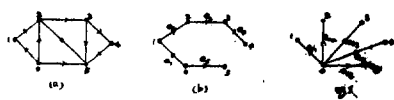


그림 3-22.

對電壓과 节點基準電壓(node-datum voltage)은 다음과 같은 非特異變換에 의하여相互關係를 맺고 있음을 알 수 있다.

$$\left. \begin{aligned} e_{o_1} &= e_1 \\ e_{o_2} &= e_1 + e_2 \\ e_{o_3} &= e_1 + e_2 + e_3 \\ e_{o_4} &= e_1 + e_2 + e_3 + e_4 \\ e_{o_5} &= e_5 \end{aligned} \right\} \quad (3-37)$$

行列로 표시하면

$$[E_{dn}] = [\alpha][E_n] \quad (3-38)$$

$$[E_{dn}] = \begin{pmatrix} e_{o_1} \\ e_{o_2} \\ e_{o_3} \\ e_{o_4} \\ e_{o_5} \end{pmatrix}, \quad [\alpha] = \begin{pmatrix} 1 & 0 & 0 & 0 & 0 \\ 1 & 1 & 0 & 0 & 0 \\ 1 & 1 & 1 & 0 & 0 \\ 1 & 1 & 1 & 1 & 0 \\ 0 & 0 & 0 & 0 & 1 \end{pmatrix}, \quad [E_n] = \begin{pmatrix} e_1 \\ e_2 \\ e_3 \\ e_4 \\ e_5 \end{pmatrix}$$

가 되며 $[\alpha] \neq 0$ 이므로 이는 분명히 非特異變換이다.

(8) Duality (雙對性)

Network topology에 대한 기본 사상의 하나인 duality에 관해서 간단히 설명하기로 한다. 즉 duality란 개념은 실지 回路網 문제를 다루는데 매우 편리한 方法을 제공해준다. 지금 그림 3-23의 (a)(b)의 平衡方程式을 세우면

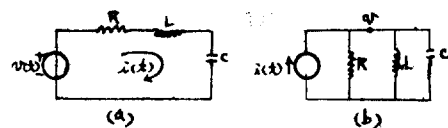


그림 3-23. Dual circuit

$$L \frac{di}{dt} + Ri + \frac{1}{C} \int i dt = v(t)$$

$$C \frac{dv}{dt} + Gv + \frac{1}{L} \int v dt = i(t)$$

가 된다.

그림 3-23 (a)(b)를 비교해 보면 그 幾何學的인 구조는 달라졌어도 電壓과 電流의 役割이 교환된 것만을 제외하면 (a)에서의 v 와 i 와의 관계는 (b)에서의 i 와 v 와의 관계와 같다고 볼 수 있을 것이다. 이와 같이 주어진 回路의 獨立變數와 從屬變數間의 관계가 같은 경우 이들 두 回路를 소위 duality 하다고 한다. 그리고 이 duality에는 定性的인 면과 定量的인 면의 두 가지가 있는데 前자는 주로 第2表와 같이 回路網의 幾何學的性質즉 linear graph의 基本性質을 의미하고, 後자는 線型系에 이용된 線型要素의 어떤 結果를 의미하여 第3表와 같다.

第2表 duality 的 定性的인 面

Loop.....	Node pair
Tree branch.....	Link
Potential.....	Current
Series.....	Parallel
Open circuit(電流=0)....	Short circuit(電壓=0)
Tie set.....	Cut set

第3表 duality 的 定量的인 面

$$\begin{aligned} V_R = R_i &= G V_R \\ V_L = L \frac{di}{dt} &= C \frac{dV_C}{dt} \\ V_C = \frac{1}{C} \int_0^t i_C dt &= \frac{1}{L} \int_0^t v_{Ld} dt \end{aligned}$$

그런데 loop 와 node pair 의 雙對性은 平面 또는 球面上에 그릴 수 있는 주어진 graph(mappable graph)의 dual 를 그리는데 필요한 規則을 제시해 준다.(실지로 이에 관한 規則은 1930년 W. Cauer에 의해 계통적으로 연구 발표되었다). 다음에 주어진 graph 의 dual 를 그리는 과정을 열거한다. 단 여기서 다루는 graph 는 어디까지나 mappable graph 이다.

1. 주어진 graph 의 모든 loop 심지어 回路網의 外部까지 이를 dot 로 나타낸다.

2. 각枝를 橫斷하면서 두 dot 를 한 선으로 연결한다.

(例)

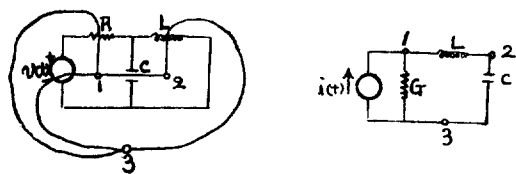


그림 3-24. 雙對性 回路의 작성법

Dual graph 의 가장 중요한 성질은 그 loop 가 주어진

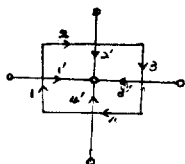


그림 3-25. 雙對枝의 方向

본래 graph 의 node pair 에 대응되며, 이의 逆도 成立한다는 것과 이러한 變換 과정에서 枝의 數는 不變이라는 점이다. 다음 일반적으로 有向性 graph 의 dual 역시 有向性 graph 가 되는데 이 때 두 graph 에서의 方向을 확실히 하기 위하여 雙對枝(dual branch)의 方向은 그림 3-25 와 같이 時計 方向으로 정한다.

(例題) 그림 3-25(a)와 같은 graph 의 dual graph 는 (c)와 같다. 여기서 (b)는 枝相互間의 교차 없이 주어진 graph 를 平面에 그린것으로 이는 어디까지나 位相幾何學의 同相이다. 이와 같이 주어진 graph (a)에서 (b)

로 다시 그린 이유는 (c)를 쉽게 알기 위한 것이다.

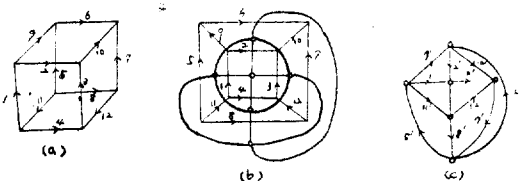


그림 3-25. 有向性 雙對枝

다음에는 獨立된 環路電流變數의 數와 獨立된 節點對電壓의 數가 같은 bridge 回路 또는 接地梯子型 回路들은 그림 3-26의 (a)(b)와 같이 소위 自己 雙對 graph (self dual graph)를 形成한다.

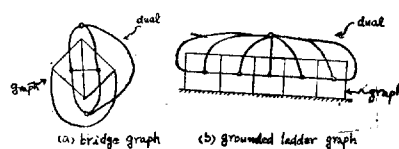


그림 3-26 Self dual graph

이상 설명한 바와 같이 graph 의 雙對性에서는 어떤 數值 係數에 관한 資料는 얻을 수 없지만, 단일 雙對性 graph 의 각枝들이 주어진 回路網의 해당 要素들의 數值 係數와 같은 值로 된 値을 가질 경우도 능히 생각 할 수 있다. 이러한 경우, 그 回路網을 逆回路網 혹은 可逆回路網이라고 부르며 filter 의 設計와 回路網理論의 特수한 문제를 다루는데 매우 중요한 역할을 한다.

(9) Planar 및 Nonplanar Network

前節에서 설명한 소위 線型 回路網의 dual 를 구하기 위해서는 주어진 graph 의 모든 cut set 에 대해서 이에 대응하는 tie set 가 dual graph 에 존재해야 하는데, Kuratowski 는 1930년에 球面上에서의 주어진 graph 의 mapability 에 관한 位相幾何學研究를 완성하여 다음과 같은 결론을 내렸다. 즉 그림 3-27의 (a)(b)와 같은 두 가지 기본구조의兩者 혹은 어느 하나라도 포함하지 않은 모든 linear graph 는 球面上에 枝들의 교차 없이 그릴 수 있으며 이를 planar graph 라 한다. 그리고 이를 기본 구조를 포함할 경우에는 平面上에 그릴 수 있으며, 이를 nonplanar



그림 3-27. Kuratowski 기본 구조

graph 라 한다. 그림 3-27를 소위 Kuratowski 기본구조라 한다.

以上으로 network topology 에 관한 기초적인 사항을 끝맺기로 하고 다음부터는 실제 回路 문제에 어떻게 應用하는가를 설명 할 예정이다.

(1965年 10月 7日 接受)